

ОГЛАВЛЕНИЕ

1	ТЕОРЕТИЧЕСКИЕ СВЕДЕНИЯ	2
1.1	Уравнение Бюргерса	2
1.2	Решение уравнения Бюргерса	3
1.3	Решение уравнения Бюргерса методом Галеркина с использованием гармонических вейвлетов	5
1.3.1	Вейвлет-Галеркина метод решения уравнения Бюргерса.....	7
1.4	Попеременно-треугольный метод	9
1.4.1	Попеременно-треугольный метод	9
1.4.2	Выбор параметра ω	10
1.4.3	Скорость сходимости	11
2	ЧИСЛЕННЫЕ РАСЧЕТЫ.....	13
2.1	Вейвлет-Галеркина метод решения уравнения Бюргерса	13
3	СПИСОК ИСПОЛЬЗОВАННЫХ ИСТОЧНИКОВ	15
4	ПРИЛОЖЕНИЯ	16
4.1	Приложение 1	16
4.2	Приложение 2.	17
4.3	Приложение 3	18

1 ТЕОРЕТИЧЕСКИЕ СВЕДЕНИЯ

1.1 Уравнение Бюргерса

Уравнением Бюргерса называют уравнение в частных производных, используемое в гидродинамике. Это уравнение известно в различных областях прикладной математики. Уравнение названо в честь Иоганна Мартинуса Бюргерса (1895—1981). Является частным случаем уравнений Навье — Стокса в одномерном случае.

Пусть задана скорость течения жидкости u и ее кинематическая вязкость. Уравнение Бюргерса в общем виде записывается так:

$$\frac{\partial u}{\partial t} + u \frac{\partial u}{\partial x} = \nu \frac{\partial^2 u}{\partial x^2}$$

Если влиянием вязкости можно пренебречь, то есть $\nu = 0$, уравнение приобретает вид:

$$\frac{\partial u}{\partial t} + u \frac{\partial u}{\partial x} = 0$$

В этом случае мы получаем уравнение Хопфа — квазилинейное уравнение переноса — простейшее уравнение, описывающее разрывные течения или течения с ударными волнами.

Если ν вещественно и не равно 0, уравнение сводится к случаю $\nu = 1$: для $\nu < 0$ нужно сначала сделать замену $u \rightarrow -u, x \rightarrow -x$, и для любого знака ν : $u \rightarrow \sqrt{|\nu|}u, x \rightarrow \sqrt{|\nu|x}$.

Уравнение Бюргерса можно линеаризовать преобразованием Хопфа-Коула. Для этого (при $\nu = 1$) нужно сделать замену функции:

$$u = \frac{\partial \ln \omega}{\partial x} = \omega_x / \omega$$

При этом решения уравнения Бюргерса сводятся к положительным решениям линейного уравнения теплопроводности:

$$u(x, t) = \frac{\partial}{\partial x} \ln \left\{ \left(4\pi t^{-\frac{1}{2}} \right) \int_{-\infty}^{\infty} \exp \left[-\frac{(x - x')^2}{4t} - \frac{1}{2} \int_0^{x'} u(x'', 0) dx'' \right] dx' \right\}$$

1.2 Решение уравнения Бюргерса

Рассмотрим движение кинематической волны для простейшего уравнения Навье-Стокса - уравнения Бюргерса. Это одно из простейших уравнений, отражающих эффекты нелинейной конвекции и диффузии.

Оно встречается в многочисленных приложениях, а также используется для тестирования численных алгоритмов. Последнее объясняется тем, что задача Коши для уравнения Бюргерса с ограниченным начальным условием имеет аналитическое решение.

Этот результат независимо друг от друга получил Коул и Хопф.

Итак, рассмотрим решение задачи Коши для уравнения Бюргерса:

$$\frac{\partial u}{\partial t} + u \frac{\partial u}{\partial x} = \frac{1}{Re} \frac{\partial^2 u}{\partial x^2} \quad (1)$$

Это одно из немногих содержательных нелинейных уравнений переноса, для которого известно точное решение задачи Коши. Сделаем нелинейную замену переменных:

$$u = -\frac{2}{Re} \frac{1}{y} \frac{\partial y}{\partial x} \quad (2)$$

Уравнение (1) приводится к линейному уравнению теплопроводности:

$$\frac{\partial u}{\partial t} = \frac{1}{Re} \frac{\partial^2 u}{\partial x^2} \quad (3)$$

Решение этого линейного уравнения хорошо известно.

Поэтому для начального условия $u(0, x) = \varphi(x)$ решение (1) будет иметь вид:

$$u_B(t, x) = \frac{\left[\int_{-\infty}^{\infty} \frac{x - \xi}{t} \exp\left(-\frac{G Re}{2}\right) d\xi \right]}{\left[\int_{-\infty}^{\infty} \exp\left(-\frac{G Re}{2}\right) d\xi \right]} \quad (4)$$

где

$$G(\xi, x, t) = \int_0^\gamma \varphi(\xi) d\xi + \frac{(x - \gamma)^2}{2t} \quad (5)$$

верхний предел в последнем соотношении $\gamma = \xi$.

Также относится и ко второму слагаемому.

В качестве тестовой рассмотрим задачу с разрывными начальными условиями:

$$u(0, x) = \{ 0 \text{ при } x > 0 \text{ и } 1 \text{ при } x \leq 0; \} \quad (6)$$

которая точно соответствует физической задаче распространения ударной волны с учетом диссипативного вязкого процесса. Точное решение задач (1) и (6) в соответствии с (4) имеет вид:

$$u_b = \frac{1}{\left(1 + h \exp\left\{ Re \frac{\left(x - \frac{t}{2}\right)}{2} \right\} \right)}$$

Из рисунка (Приложение 1.Рисунок 1.) видно, что численное решение правильно отслеживает движение фронта ударной волны. Для сравнительно малых значений Re максимальная погрешность невелика, также как и для $Re = 100$ вне фронта волны.

При $Re = 100$ на коротком участке за фронтом волны возникают осцилляции (Рисунок 2) увеличивающиеся со временем.

Это характерное явление при использовании аппроксимации второго порядка для конвективных членов.

Аналогичный эффект возникает и при других подходах, например, при использовании метода Галёркина.

1.3 Решение уравнения Бюргерса методом Галеркина с использованием гармонических вейвлетов

Рассмотрим комплекснозначный базис Литтлвуда-Пэйли, определенный при помощи материнского вейвлета:

$$\psi(x) = \frac{\exp(4i\pi x) - \exp(2i\pi x)}{2i\pi x} \quad (1)$$

Ортонормированный базис можно сконструировать ортонормированный базис $\left\{ \psi(x) = 2^{\frac{j}{2}} \psi(2^j x - k) \right\}$ сдвигом и расширением материнского вейвлета, где j – масштабный коэффициент, а k – коэффициент сдвига. В итоге базис имеет вид:

$$\psi_k^j(x) = \frac{\exp\left(\frac{i\omega k}{2^j}\right)}{2\pi \times 2^{j/2}}, \text{ для } 2\pi \times 2^{j/2} \leq \omega 2\pi \times 2^{j+1},$$

и = 0 в других случаях (2)

Важнейшим шагом в конструировании алгоритма является периодизация вейвлета. Периодические вейвлеты могут быть сконструированы при помощи стандартной процедуры:

$$\psi_k^{j\text{ per}}(x) = \sum_{l=-\infty}^{\infty} \psi_k^j(x - l), \quad (3)$$

на единичном отрезке. При этом все свойства вейвлетов переходят на их периодические копии. Из (3) получаем периодические вейвлеты:

$$\psi_k^{j\text{ per}}(x) = \frac{1}{2^{j/2}} \sum_{m_j=2^j}^{2^{j+1}-1} \exp\left[-2i\pi m_j \left(x - \frac{k}{2^j}\right)\right], \quad (4)$$

где $j = 0, \dots, r$ и $k = 0, \dots, 2^j - 1$.

Рисунок 1. изображает действительную и мнимую части периодических гармонических вейвлетов .

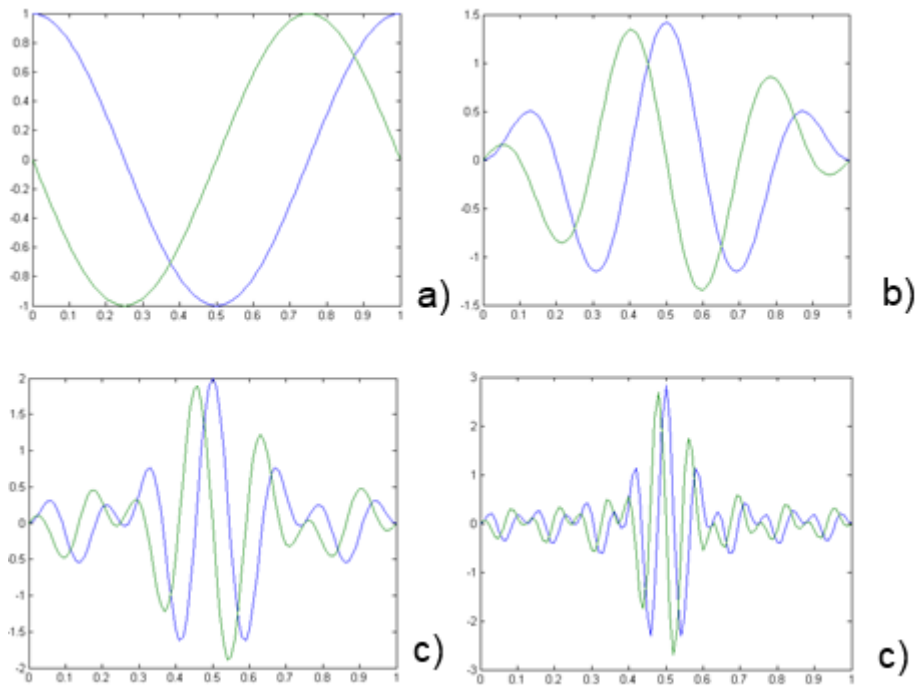


Рисунок 1. Действительная и мнимая части периодических гармонических вейвлетов а) $\psi_0^0(x)$, б) $\psi_1^1(x)$, в) $\psi_2^2(x)$ д) $\psi_4^3(x)$.

Интересно заметить, что (4) имеет вид, подобный Фурье-преобразованию и поэтому для него справедливы большинство свойств преобразования Фурье. Определив дискретное вейвлет преобразование как $\{f_l\}$:

$$f_l = \sum_{j=0}^r \sum_{k=1}^{2^j-1} a_k^j \psi_{k,l}^j, \quad (5)$$

где $\psi_{k,l}^j = \psi_k^j(l/N)$, есть дискретный 1-периодический гармонический вейвлет (*per* отброшено для удобства), и коэффициенты выглядят:

$$a_s = \sum_{k=0}^{2^j-1} F_{2^j+k} \exp(2i\pi ks/2^j),$$

$$s = 2^j, \dots, 2^{j+1} - 1, \quad (6)$$

где $\{F\}$ – коэффициенты Фурье для $\{f\}$. Заметим, что $a_{N-s} = \tilde{a}_s$, кроме случаев a_0 и $a_{N/2}$, которые всегда являются действительными

1.3.1 Вейвлет-Галеркина метод решения уравнения Бюргерса

В этой части применяются гармонические вейвлеты для уравнения Бюргерса с периодическими граничными условиями, определенными на $x \in [0,1]$,

$$\frac{\partial u}{\partial t} + u \frac{\partial u}{\partial x} = v \frac{\partial^2 u}{\partial x^2} \quad (7)$$

где $u(x, t)$ – скорость, а v – кинематическая вязкость, с начальными условиями

$$u(x, 0) = \sin 2\pi x \quad (7')$$

Используя стандартный подход в методе Галеркина, представляя $u(x, t)$ в виде амплитуды зависящей от времени, и базиса, зависящего от пространственной переменной, находится решение (7) в форме:

$$u(x, t) = \sum_{j=0}^r \sum_{k=0}^{2^j-1} a_k^j(t) \psi_k^j(x) \quad (8)$$

где

$$(f, g) = \int_0^1 f(x) \tilde{g}(x) dx \quad (9)$$

Здесь тильда обозначает комплексное сопряжение.

Подставляя (8) в (7), используя (9), получаем следующую систему уравнений, которая выражает конечно-пространственное отображение уравнения Бюргерса на пространство вейвлетов,

$$\frac{d}{dt} a_s^r - v \sum_{j=0}^r \sum_{k=0}^{2^j-1} L_{ks}^{jr} a_k^j(t) + \sum_{j=0}^r \sum_{p=0}^r \sum_{k=0}^{2^j-1} \sum_{q=0}^{2^p-1} N_{kqs}^{jpr} a_k^j a_q^p = 0 \quad (10)$$

где

$$L_{ks}^{jr} = \left(\frac{d^2}{dx^2} \psi_k^j, \psi_s^r \right) \quad (11)$$

$$L_{ks}^{jr} = -\frac{4\pi^2}{2^{(j+r)/2}} \sum_{m_j=2^j}^{2^{j+1}-1} \sum_{m_r=2^r}^{2^{r+1}-1} m_j^2 \cdot \exp \left[2i\pi \left(\frac{m_j k}{2^j} - \frac{m_r s}{2^r} \right) \right] \delta_{m_j, m_r}, \quad (12)$$

и

$$N_{kqs}^{jpr} = \left(\psi_k^j \frac{d}{dx} \psi_q^p, \psi_s^r \right), \quad (13)$$

$$N_{kqs}^{jpr} = -\frac{2i\pi}{2^{(j+p+r)/2}} \sum_{m_j=2^j}^{2^{j+1}-1} \sum_{m_p=2^p}^{2^{p+1}-1} \sum_{m_r=2^r}^{2^{r+1}-1} m_p \cdot \exp \left[2i\pi \left(\frac{m_j k}{2^j} - \frac{m_p q}{2^p} - \frac{m_r s}{2^r} \right) \right] \delta_{m_j, m_p, m_r} \quad (14)$$

есть линейный и нелинейный коэффициенты соответственно, $\delta_{m,n}$ является символом Кронекера.

1.4 Попеременно-треугольный метод

1.4.1 Попеременно-треугольный метод

Будем рассматривать неявную итерационную схему:

$$B \frac{y_{k+1} - y_k}{t_{k+1}} + A_{y_k} = f, \quad k = 0, 1, \dots \quad (1)$$

Если оператор B представляет собой произведение конечного числа экономичных операторов, то он также экономичен. Так, экономичным является оператор $B = B_1 B_2$, равный произведению треугольных операторов B_1 и B_2 .

Рассмотрим так называемый попеременно-треугольный метод – метод (1), для которого оператор B имеет вид:

$$B = (D + \omega R_1) D^{-1} (D + \omega R_2), \quad (2)$$

Где $D = D^* > 0$, $R_1^* = R_2$, $R_1 + R_2 = R$, $R = R^* > 0$,
 $\omega > 0$ – параметр.

Покажем, что оператор B является самосопряженным и положительным, т.е. схема (1) с оператором (2) принадлежит исходному семейству схем (2). В самом деле,

$$\begin{aligned} (By, v) &= ((D + \omega R_1) D^{-1} (D + \omega R_2) y, v) = ((D + \omega R_2) y, D^{-1} (D + \omega R_2) v) \\ &= (y, (D + \omega R_1) D^{-1} (D + \omega R_2) v), \end{aligned}$$

А значит, $(By, v) = (y, Bv)$, т.е. $B = B^*$. Далее находим

$$(By, v) = ((D + \omega R_2) y, D^{-1} (D + \omega R_2) y) = \|(D + \omega R_2) y\|_{D^{-1}}^2 > 0, \quad \text{т.е. } B = B^* > 0.$$

Оператору R соответствует матрица $R = (r_{ij})$. В качестве матриц R_1 и R_2 можно взять нижнюю и верхнюю треугольные матрицы, т.е.

$$R_1 = (r_{ij}^-), \quad r_{ij}^- = \begin{cases} r_{ii}/2, & j = i, \\ r_{ij}, & j < i, \\ 0, & j > i; \end{cases}$$

$$R_2 = (r_{ij}^+), \quad r_{ij}^+ = \begin{cases} r_{ii}/2, & j = i, \\ r_{ij}, & j > i, \\ 0, & j < i, \end{cases}$$

Если R - симметричная матрица, $r_{ji} = r_{ij}$, то R_1 и R_2 взаимно сопряжены, $R_2 = R_1^*$.

В качестве $D = (d_{ij})$ возьмем диагональную матрицу. Тогда $(D + \omega R_1)$ – нижняя треугольная, а $(D + \omega R_2)$ – верхняя треугольная матрица. Таким образом, процесс итераций сводится к попеременному обращению нижней и верхней треугольных матриц (отсюда и название метода). В самом деле, для каждой итерации надо решать уравнения:

$$By_{k+1} = (D + \omega R_1)D^{-1}(D + \omega R_2)y_{k+1} = F_k. \quad (3)$$

Обозначая $D^{-1}(D + \omega R_1)y_{k+1} = D\bar{y}_{k+1}$, получаем

$$(D + \omega R_1)y_{k+1} = F_k, \quad (D + \omega R_2)y_{k+1} = D\bar{y}_{k+1}, \quad k = 0, 1, \dots \quad (4)$$

Замечая, что $(R_1 y, y) = (R_2 y, y) = (R y, y)/2$, находим

$$\begin{aligned} ((D + \omega R_1)y, y) &= (Dy, y) + \omega(R_1 y, y) = \left(\left(D + \frac{\omega}{2} R \right) y, y \right) \\ &= ((D + \omega R_2)y, y) > 0, \end{aligned}$$

так как $D > 0$, $\omega > 0$, $R > 0$.

Отсюда следует существование обратных операторов $(D + \omega R_1)^{-1}, (D + \omega R_2)^{-1}$, т.е. разрешимость задач (4).

1.4.2 Выбор параметра ω

Чтобы пользоваться общей теорией, надо сначала найти параметры γ_1 и γ_2 , входящие в неравенства

$$\gamma_1 B \leq A \leq \gamma_2 B, \quad (5)$$

которые в силу ограниченности и положительности операторов A и B всегда выполнены. Начнем с определения параметра $\omega > 0$.

Пусть оператор B определяется по формуле (2), где

$$R_2^* = R_1, \quad R_1 + R_2 = R, \quad R = R^* > 0$$

и R удовлетворяет условиям

$$R \geq \delta D, \delta > 0, \quad R_1 D^{-1} R_2 \leq \frac{\Delta}{4} R, \quad \Delta > 0. \quad (6)$$

Тогда справедлива оценка:

$$\dot{\gamma}_1 B \leq A \leq \dot{\gamma}_2 B, \quad \dot{\gamma}_1 = \frac{\delta}{1 + \omega\delta + 0.25\omega^2\delta\Delta}, \quad \dot{\gamma}_2 = \frac{1}{2\omega}. \quad (7)$$

Отношение $\xi = \dot{\gamma}_2(\omega)/\dot{\gamma}_1(\omega)$ имеет наибольшее значение при

$$\omega = \omega^* = \frac{2}{\sqrt{\delta\Delta}}; \quad (8)$$

при этом

$$\xi = \frac{2\sqrt{\eta}}{1 + \sqrt{\eta}}, \quad \eta = \frac{\delta}{\Delta}, \quad \dot{\gamma}_1 = \frac{\delta}{2(1 + \sqrt{\eta})}, \quad \dot{\gamma}_2 = \frac{\delta}{4\sqrt{\eta}} \quad (9)$$

1.4.3 Скорость сходимости

Пусть оператор $A = A^* > 0$ представлен в виде суммы $A = A_1 + A_2$, $A_2 = A_1^*$, и выполнены условия:

$$A \geq \delta D, \quad A_1 D^{-1} A_2 \leq \frac{\Delta}{4} A, \quad \delta > 0, \quad \Delta > 0. \quad (10)$$

Тогда для попеременно-треугольного метода (1) с

$$B = (D + \omega A_1)D^{-1}(D + \omega A_2), \quad D = D^* > 0, \quad (11)$$

с параметром $\omega = 2\sqrt{\delta\Delta}$ и чебышевским набором параметров

$$t_k = \frac{t_0}{1 + \rho_0 \mu_k^*}, \quad t_0 = \frac{2}{\gamma_1 + \gamma_2}, \quad \rho_0 = \frac{1 - \xi}{1 + \xi}, \quad \xi = \frac{\gamma_1}{\gamma_2} = \frac{2\sqrt{\eta}}{1 + \sqrt{\eta}}, \quad (12)$$

где

$$\gamma_1 = \frac{\delta}{2(1 + \sqrt{\eta})}, \quad \gamma_2 = \frac{\delta}{4\sqrt{\eta}}, \quad \eta = \frac{\delta}{\Delta}, \quad \mu_k^* \in \mathfrak{M}_n^*, \quad (13)$$

достаточно $n(\varepsilon)$ итераций:

$$n_0(\varepsilon) \leq n(\varepsilon) < n_0(\varepsilon) + 1, \quad n_0(\varepsilon) < \ln \frac{\frac{2}{\varepsilon}}{2\sqrt{2^4\sqrt{\eta}}}; \quad (14)$$

при этом выполнена оценка:

$$\|Ay_n - f\|_{B-1} \leq \varepsilon \|Ay_0 - f\|_{B-1}. \quad (15)$$

2 ЧИСЛЕННЫЕ РАСЧЕТЫ

2.1 Вейвлет-Галеркина метод решения уравнения Бюргерса

Чтобы проиллюстрировать предложенную схему, получим вейвлет-Галеркина решение уравнения Бюргерса для $r = 3$ для различных ν используя периодические гармонические вейвлеты на $x \in [0,1]$.

Для решения (10) применяется стандартный многошаговый метод Адамса. Начальные условия (7') также раскладываются по периодическим гармоническим вейвлетам, для использования их при решении уравнения (10). Интервал изменения временной переменной t взяли $[0,1]$. При решении (10) получили набор a_k^j , которые потом были подставлены в (8). И было получено решение $u(x, t)$ изображенное на Рисунке 2. для $\nu = 0.025$

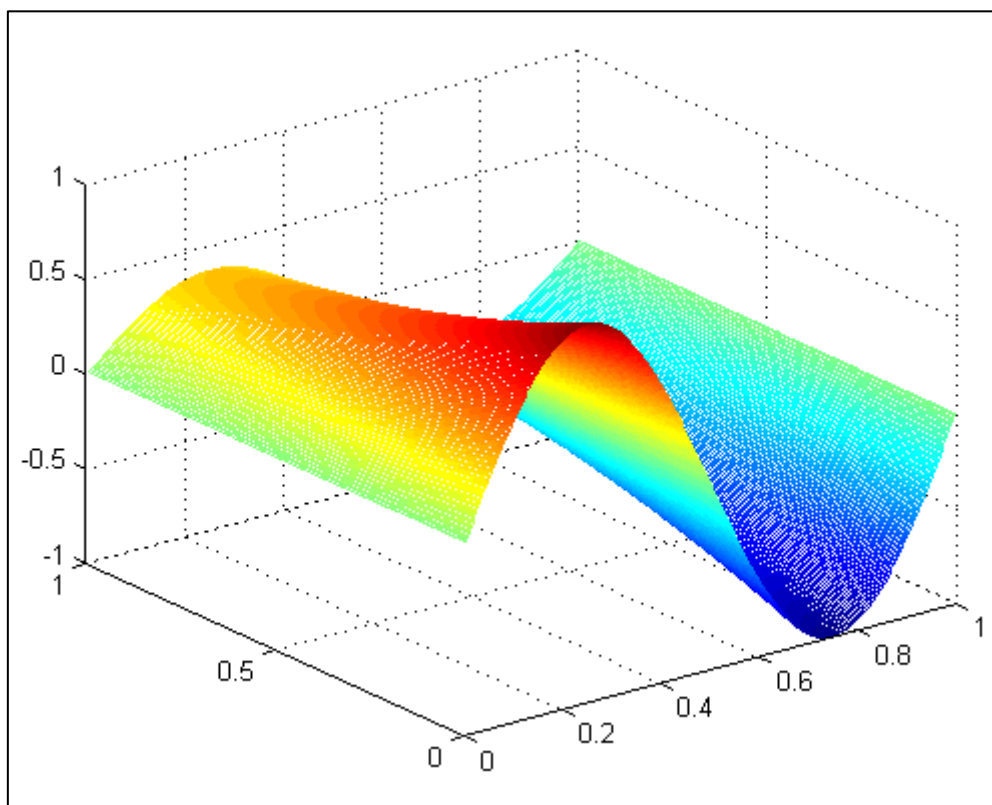


Рисунок 2. Вейвлет Галеркина решение уравнения Бюргерса для $\nu = 0.025$.

Для сравнения было также полученное решение для $\nu = 0.0025$, решение которого изображено на Рисунке 3.

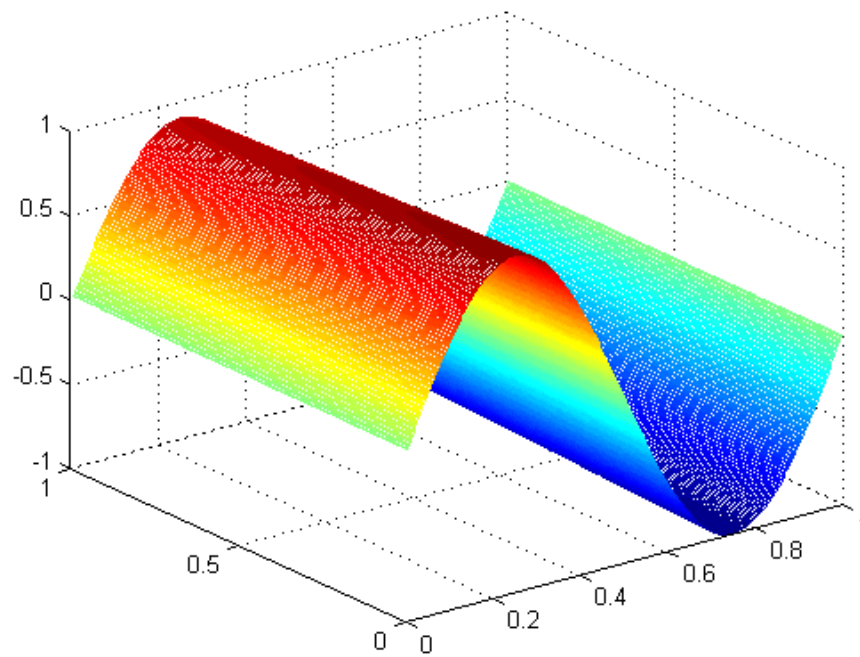


Рисунок 3. Вейвлет Галеркина решение уравнения Бюргерса
для $\nu = 0.0025$.

Явно заметно уменьшение влияния второй производной $\frac{\partial^2 u}{\partial x^2}$ в
решении.

3 СПИСОК ИСПОЛЬЗОВАННЫХ ИСТОЧНИКОВ

1. http://ru.wikipedia.org/wiki/Уравнение_Бюргерса
2. К. Флетчер. Численные методы на основе метода Галеркина. "Мир". 1988 г.
3. А.М. Вайнберг. Математическое моделирование процессов переноса. Решение нелинейных краевых задач. «Москва-Иерусалим». 2009 г.
4. С.К. Годунов. Разностный метод численного расчета разрывных решений уравнений гидродинамики. 1959 г.
5. Самарский А.А. Введение в численные методы. 1982 г.

4 ПРИЛОЖЕНИЯ

4.1 Приложение 1

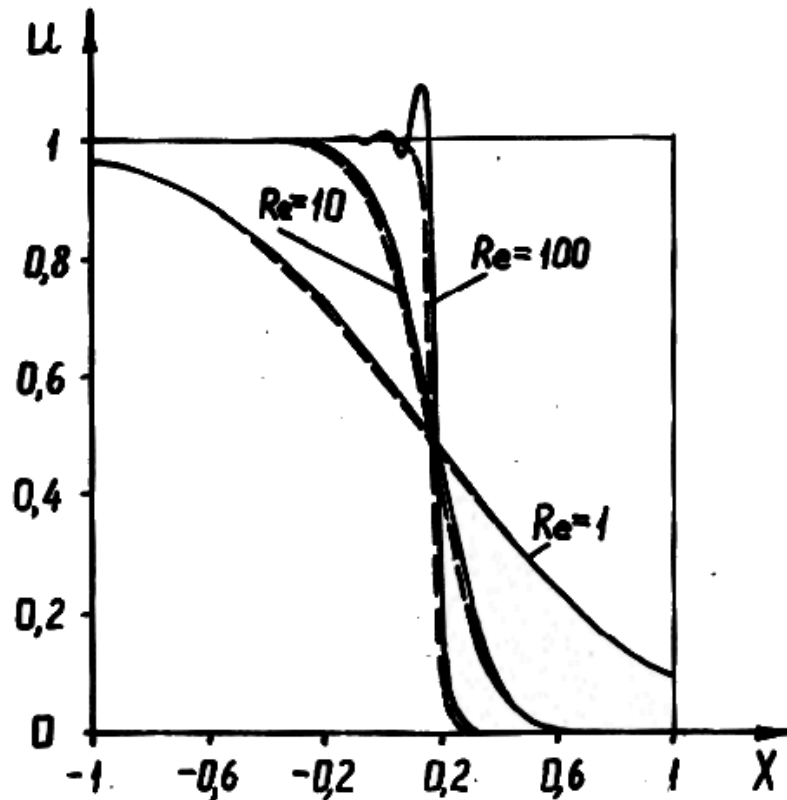


Рисунок 4. Решение уравнения Бюргера для различных значений Re при $t = 0, 23$.

----- точное решение

_____ численное решение при:

$\Delta t = 0.005$ – шаг по временной координате;

$\Delta x = 0.04$ – шаг по пространственной координате;

$N_{\max} = 2$ – максимальное количество итераций на каждом временном слое.

4.2 Приложение 2.

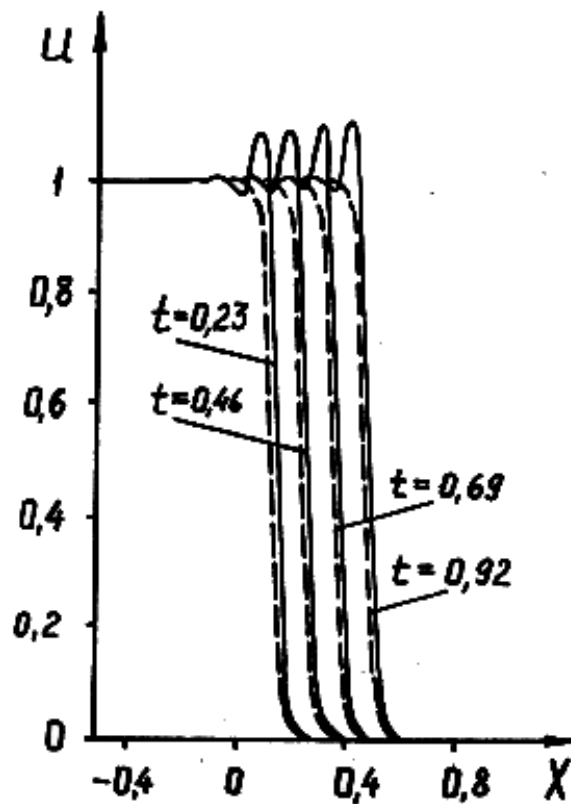


Рисунок 5. Решение уравнения Бюргерса при $Re = 100$ для различных значений t .

----- точное решение

_____ численное решение при:

$\Delta t = 0.005$ – шаг по временной координате;

$\Delta x = 0.04$ – шаг по пространственной координате;

$N_{\max} = 2$ – максимальное количество итераций на каждом временном слое.

4.3 Приложение 3

Листинг Matlab

```
function dy = rigid1(t,y)
global l1 n1 j k p q r s j1 p1 dy nn1 ll1 e v;
dy = zeros((r+1)*(s+1),1);
v=0.0003;
LL1=0; NN1=0;
for e=0:((r+1)*(s+1)-1)

    LL1=0;NN1=0;
    for j=0:r
        for k=0:(2^(j)-1);
            LL1=LL1+l1(j+1,k+1,e+1)*(y(j+1));
            for p=1:r
                for q=1:(2^(p)-1)

                    NN1=NN1+n1(j+1,k+1,p+1,e+1)*y(j+1)*y(p+1);
                end
            end
        end
    end

    dy(e+1,1)=v*LL1-NN1;
end

clear all;
global l1 n1 j k p q r s j1 p1 v;
r1=3;
j1=r1;
p1=r1-1;
l(1:(j1),1:(2^(j1-1)),1:r1,1:(2^(j1-1)))=0;
n(1:(j1),1:(2^(j1-1)),1:r1,1:(2^(r1-1)),1:r1,1:(2^(j1-1)))=0;
for r=0:r1-1
    for s=0:(2^r-1)

        for j=0:r
            for k=0:(2^j-1)
```

```

    for mj=(2^j):(2^(j+1))-1
        for mr=(2^r):(2^(r+1))-1
            if isequal(mj,mr)==1
                l(j+1,k+1,r+1,s+1)=l(j+1,k+1,r+1,s+1)-
                4*pi^2/2^((j+r)/2)*mj^2*exp(2*i*pi*(mj^2*k/2^j-mr*s/2^r));
            end
        end
    end

    for p=0:r
        for q=1:(2^p-1)

            for mj=(2^j):(2^(j+1))-1
                for mp=(2^p):(2^(p+1))-1
                    for mr=(2^r):(2^(r+1))-1
                        if isequal(mj,mr)==1
                            n(j+1,k+1,p+1,q+1,r+1,s+1)=n(j+1,k+1,p+1,q+1,r+1,s+1)-
                            2*pi*i/2^((j+r+p)/2)*mp^2*exp(2*i*pi*(mj^2*k/2^j+mp^2*q/2^p-mr*s/2^r));
                        end
                    end
                end
            end
        end
    end

    end
end
end
end
[ls1,ls2,ls3,ls4]=size(l);
[ns1,ns2,ns3,ns4,ns5,ns6]=size(n);
l1=reshape(l,ls1,ls2,ls3*ls4);
n1=reshape(n,ns1,ns2,ns3*ns4,ns5*ns6);

a=zeros(r1,2^(r1-1)-1);
x=1/205:1/205:1;
for r=0:r1-1
    for s=0:(2^r-1)
        q=0;
        for m=2^r:(2^(r+1))-1
            q=q+1/2^(r/2)*exp(-2*i*pi*m*(x-(s)/2^r));
        end
        a(r+1,s+1)=sin(2*pi*x)/q;
    end
end

```

```

end
end
a1=reshape(a,r1*2^(r1-1),1);
options = odeset('RelTol',1e-1,'AbsTol',1e-
1,'MaxStep',1/254,'InitialStep',1/254);

for r =0:(r1-1)
    Y=0;
    [T,Y] = ode113(@rigid1,[0 1],a1(1:(r+1)*(s+1),1),options);
    size(Y)
    [s1,s2]=size(Y);
    if (r==0)
        x=1/s1:1/s1:1;
        u=zeros(s1,s1);
    end

    for f=0:(r-1)
        for k=0:(2^(f)-1)
            q=0;
            for m=2^f:(2^(f+1)-1)
                q=q+1/2^((f)/2)*exp(-2*i*pi*m*(x-k/2^f));
            end

            u=u+Y(:,(f+1))*q;
        end
    end
end
[X,Y] = meshgrid(1/255:1/255:1,1/255:1/255:1);
mesh(X,Y,real(u));
title(['Wavelet Galerkin solution of Burgers equation for v=',num2str(v)]);

```